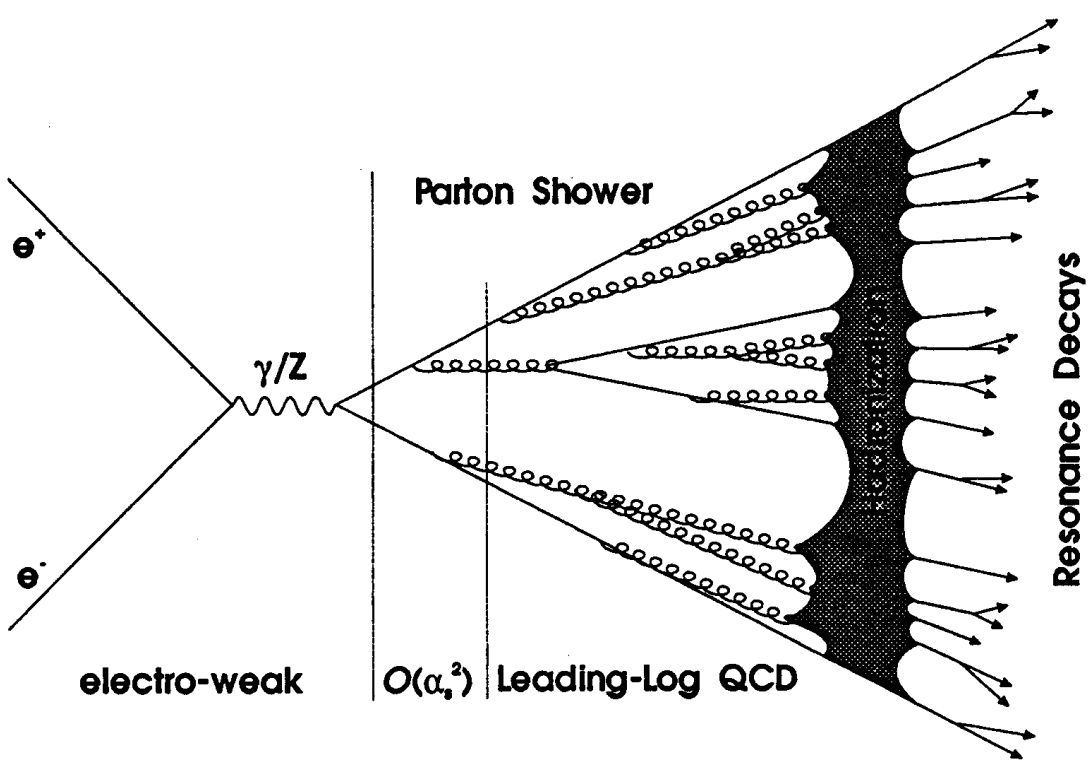


Generátor PYTHIA/JETSET

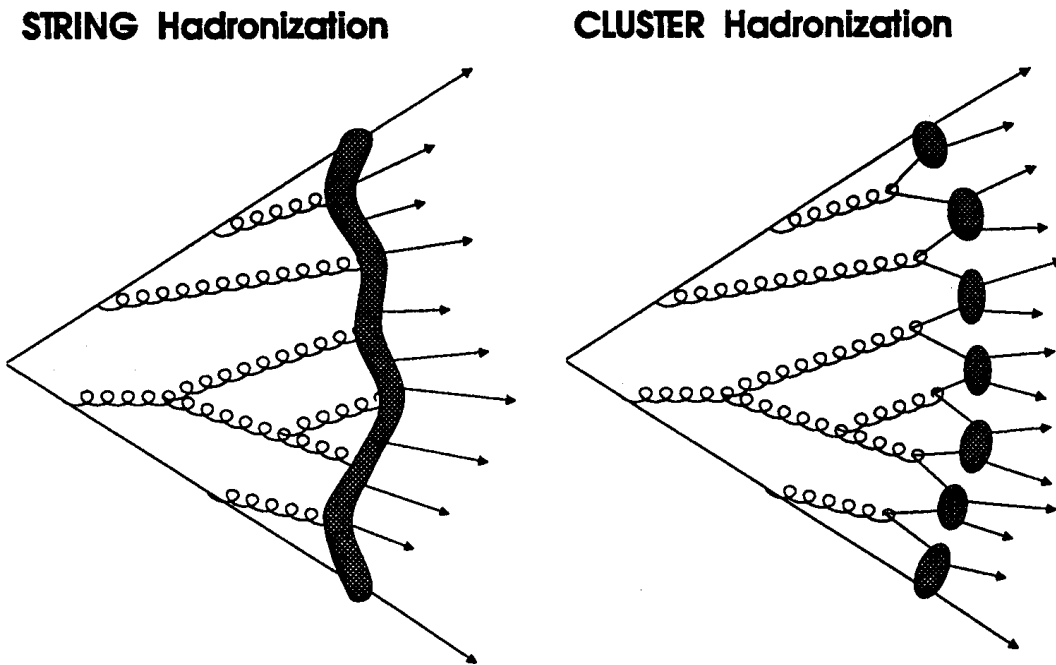
Účel: modelovanie vysokoenergetických zrážok častíc

Fyzikálne aspektyv časovej evolúcií zrážky:

1. Počiatočný stav: dve častice vstupujúce do interakcie. Každá z nich je charakterizovaná náborom štruktúrnych funkcií (rozdelenie na partónov - kvarkov, gluónov).
2. Interakcia: častice interagujú prostredníctvom partónov - 2 partóny vstupujúce do interakcie (po jednom z každej častice) iniciujú (vôľšie obecnosti) kaskádne vetvenie $q \rightarrow qg$ (initial state showers).
3. V každej zdrojových čiatočných sponzorových skupinách sa jedna časť jednej partónovej sponzory vstupuje do nepružného (hard) procesu.
4. Výstupné partóny môžu vytvárať sprievodcové časťi (final state showers).
5. Povýchode partónovéhoho iniciátora s sponzorom rôzny je stavy častíc medzi sponzormi, ktorým je viazaný k zvyšku finálneho stavu.
6. QCD-mechanizmus uvažuje, že výstupné kvarky a gluóny nebuduť pozorovateľné → fragmentácia hadrónov (hadronizácia).
7. Mnohé z produkovaných hadrónov sú nestabilné a rozpadajú sa.



Obr. 1:Schematickézobrazenieinterakcie(e^+e^-)sovznikompartónovýchspôsobiek



Obr. 2:Grafickézobrazeniestrunovejaklasterovejhadronizácie.

Nepružné(hard)procesy

PYTHIA/JETSET poskytujú rôzne typy nepružných procesov:

- „Hard“ QCD - procesy $qg \rightarrow qg$.
- „Soft“ QCD - procesy (difraktívny a elastický rozptyl, procesy s malou prenesenou hybnosťou)
- produkcia ťažkých kvarkov, napr.: $gg \rightarrow t\bar{t}$
- hlboko-nepružný rozptyl - $ql \rightarrow ql$
- produkcia Higgsova hobožónu (vrámcí SM)
- produkcia častíc z SM, etc.

Účinný prierez pre proces $ij \rightarrow k$:

$$\sigma_{ij \rightarrow k} = \int dx_1 \int dx_2 \cdot f_i^1(x_1, Q^2) \cdot f_j^2(x_2, Q^2) \cdot \hat{\sigma}_{ij \rightarrow k}$$

kde

x_1, x_2 sú Bjorkenove premenné

Q^2 – odovzdávaná hybnosť v partónovom procese

$f_i^{1(2)}$ – štruktúrne funkcie

$\hat{\sigma}_{ij \rightarrow k}$ účinný prierez daný maticovým elementom

Radiačné procesy vypočítané v konečnom stave

Ak proces obsahuje jenability alebo farebný objekt \Rightarrow je možnosť využiarenia fotónu resp. gluónu.

PYTHIA obsahuje 2 prístupy:

- maticový via Feynmannova gramy (ťažkosť privýpo čtevších rádov, problém vyžarovaniam mäkkých gluónov).
- Partónová spôsob (fenomenologický prístup)

Oba prístupy sú komplementárne a nemôžu sa doplnovať.

Časticovézostatky

Zostatkypo,,výlete“iniciátorochpartónovejzrážkysúfar ebné –pretosúspojenés produktompartónovejinterakcieavytvárajú časťfragmenta čnéhosystému(vprípade protónusinteragujúcimu -kvarkomzostávajúcidikvarkudjefarebnýanti -triplet)

Fragmentácia(hadronizácia)

QCD-poruchováteóriajeplatnán amalýchvzdialenosťach.Nave ťkýchvzdialenosťach väzbovákonštantasilnýchhinterakciíjeve ťká ⇒za čínarežimkonfajnmentu:farebnépartóny prechádzajúvbezfarebnéhadróny.

$$\alpha_s(Q^2) = \frac{12\pi}{33 - 2n_f \ln(Q^2/\Lambda^2)}$$

α_s ≡väzbovákonštantasilnýchhinterakcií
 n ≡po čettypovkvarkov,
 Λ ≡QCD –konštanta(≈200 –300MeV)

Fragmentáciasarealizujenabázefenomenologickéhoprístupu:

- Strunováfragmentácia
- Nezávisláfragmentácia
- Klasterováfragmentácia

Getting Started with PYTHIA

1. ***The initialization step***. It is here that all the basic characteristics of the coming generation are specified. The material in this section includes the following.

- Common blocks, at least the following, and maybe some more:

```
COMMON/LUJETS/N,K(4000,5),P(4000,5),V(4000,5)
COMMON/LUDAT1/MSTU(200),PARU(200),MSTJ(200),PARJ(200)
COMMON/PYSUBS/MSEL,MSUB(200),KFIN(2, -40:40),CKIN(200)
COMMON/PYPARS/MSTP(200),PARP(200),MSTI(200),PARI(200)
```

- ***Selection of required processes***. Some fixed menus of subprocesses can be selected with different **MSEL** values, but with **MSEL=0** it is impossible to compose 'alacarte', using the subprocess numbers. To generate processes **14**, **18** and **29**, for instance, one needs

```
MSEL=0
MSUB(14)=1
MSUB(18)=1
MSUB(29)=1
```

- ***Selection of kinematic cuts in the CKIN array***. To generate hard scattering with $5 \text{ GeV} < p_\perp < 10 \text{ GeV}$, for instance, use

```
CKIN(3)=5.
CKIN(4)=10.
```

Unfortunately, initial-and final-state radiation will shift around the kinematics of the hard scattering, making the effects of cuts less predictable. One therefore always has to be very careful that no desired event configurations are cut out.

- Definition of underlying physics scenario, e.g. top mass.
- Selection of structure function sets, Q^2 definitions, and other details of the generation.
- Switching off generator parts not needed for toy simulations, e.g. fragmentation for parton level studies.
- Initialization of the event generation procedure. Here kinematics is set up, maxima of differential cross sections are found for future Monte Carlo generation, and a number of other preparatory tasks carried out. Initialization is performed by PYINIT, which should be called only after the switches and parameters above have been set to their desired values. The frame, the beam particles and the energy have to be specified.

CALLPYINIT('CMS','p','pbar',1800.)

Any other initial material required by the user, e.g. histogram booking.

2. The generation loop.

It is here that events are regenerated and studied. It includes the following tasks:

- Generation of the next event, with

CALLPYEVNT

- Printing of a few events, to check that everything is working as planned, with

CALLLULIST(1)

- An analysis of the event for properties of interest, either directly reading out

information from the LUJETS common block or making use of a number of

utility routines in JETSET.

- Saving of events on tape, or interfacing to detector simulation.

3. The finishing step.

Here the tasks are:

- Printing a table of deduced cross-sections, obtained as a $\sigma \times y$ -product of the Monte Carlo generation activity, with the command

CALLPYSTAT(1)

- Printing histograms and other user output.

Example

To illustrate this structure, imagine a toy example, where one wants to simulate the production of a 300 GeV Higgs particle.

The basic processes:

gg $\rightarrow H$

ZZ $\rightarrow H$

WW $\rightarrow H$

Top mass is $m_{top} = 173.8 \text{ GeV}$

PYTHIA:príklad možného programu.

C...Commonblocks.

```
COMMON/LUJETS/N,K(4000, 5),P(4000,5),V(4000,5)
COMMON/LUDAT1/MSTU(200),PARU(200),MSTJ(200),PARJ(200)
COMMON/LUDAT2/KCHG(500,3),PMAS(500,4),PARF(2000),VCKM(4,4)
COMMON/LUDAT3/MDCY(500,3),MDME(2000,2),BRAT(2000),KFDP(2000,5)
COMMON/PYSUBS/MSEL,MSUB(200),KFIN(2, -40:40),CKIN(200)
COMMON/PYPARS/MSTP(200),PARP(200),MSTI(200),PARI(200)
COMMON/PAWC/HBOOK(10000)
```

C...Numberofeventstogenerate.Switchonproperprocesses.

```
NEV=1000
MSEL=0
MSUB(102)=1!gg          →H
MSUB(123)=1      !ZZfusion
MSUB(124)=1!WWfusion
```

C...Select top and H masses and kinematic cuts in mass.

```
PMAS(6,1)=173.8.
PMAS(25,1)=300.
CKIN(1)=290.
CKIN(2)=310.
```

C...For simulation of hard process only: cut out unnecessary tasks.

```
MSTP(61)=0
MSTP(71)=0
MSTP(81)=0
MSTP(111)=0
```

C...Initialize and list partial widths.

```
CALLPYINIT('CMS','p','p',16000.)
CALLPYSTAT(2)
C...Book histograms.
CALLHLIMIT(10000)
CALLHBOOK1(10,'Higgs mass',50,275.,325.,0.)
```

C...Generate events. Look at first few.

```
DOIEV=1,NEV
CALLPYEVNT
IF(IEV.LE.2)CALLLULIST(1)
```

C.. -Loop over particle sets to find Higgs and histogram its mass.

```
DOi=1,N
IF(K(i,2).EQ.25)HMASS=P(i,5)
ENDDO
CALLHFI(10,HMASS,1.)
ENDDO
```

C...Print cross-sections and histograms.

```
CALLPYSTAT(1)
CALLHISTDO
END
```

Comment to the code.

Here 102, 123 and 124 are the three main Higgs production graphs $gg \rightarrow H, ZZH$, and $WW \rightarrow H$, and MSUB(ISUB)=1 is the command to switch on process ISUB. Full freedom to combine subprocesses 'alacarte' is ensured by MSEL=0; ready-made 'menus' can be ordered with other MSEL numbers. The PMAS commands set the masses of the top quark and the Higgs itself, and the CKIN variables set the desired mass range of the Higgs a Higgs with a 300 GeV nominal mass actually has a fairly broad Breit-Wigner type mass distribution. The MSTP switches that come next are there to modify the generation procedure, in this case to switch off initial-state radiation, multiple interactions among beam jets, and fragmentation, to give only the 'parton skeleton' of the hard process. The PYINIT call initializes PYTHIA, by finding maxima of cross-sections, recalculating the Higgs decay properties (which depend on the Higgs mass), etc. The decay properties can be listed with PYSTAT(2).

Inside the event loop, PYEVNT is called to generate an event, and LULIST(1) to list the event. The information used by LULIST(1) is the event record, stored in the common block LUJETS. Here one finds all produced particles, both final and intermediate ones, with information on particle species and event history (Karray), particle momenta (Parray) and production vertices (Varry). In the loop overall particles produced, I through N, the Higgs particle is found by its code, K(I,2)=25, and its mass is stored in P(I,5). After all events have been generated, PYSTAT(1) gives a summary of the number of events generated in the various allowed channels, and the inferred cross-sections.

In the run above, a typical event list in gm might look like the following.

The Event Record

The event record is the central repository for information about the particles produced in the current event: flavours, momenta, event history, and production vertices. It plays a very central role: without a proper understanding of what the record is and how information is stored, it is meaningless to try to use either JETSET or PYTHIA. The record is stored in the common block LUJETS. Almost all the routines that the user calls can be viewed as performing some action on the record: fill a new event, let partons fragment or particles decay, boost it, list it, find clusters, etc.

In this section we will first describe the KF flavour code, subsequently the LUJETS common block, and then give a few comments about the role of the event record in the programs.

Kódy častíc

Table1: Kódykvarkovaleptónov.

KF	Name	Printed	KF	Name	Printed
1	d	d	11	e ⁻	e ⁻
2	u	u	12	ν_e	nu_e
3	s	s	13	μ^-	mu-
4	c	c	14	ν_μ	nu_mu
5	b	b	15	τ^-	tau-
6	t	t	16	ν_τ	nu_tau
7	l	l	17	χ^-	chi-
8	h	h	18	ν_χ	nu_chi
9			19		
10			20		

Table2 : Kalibračnébozónyainéfundamentálnebozóny

KF	Name	Printed	KF	Name	Printed
21	g	g	31		
22	γ	gamma	32	Z^0	Z^0
23	Z^0	Z^0	33	Z'^0	Z'^0
24	W^+	W^+	34	W'^+	W'^+
25	H^0	H^0	35	H^0	H^0
26			36	A^0	A^0
27			37	H^+	H^+
28			38	η_{techni}	eta_tech0
29			39	L_Q^0	L_Q^0
30			40	R^0	R^0

Table3 :Dikvarky. $KF=1000*i+100*j+2s+1$

KF	Name	Printed	KF	Name	Printed
2101	ud_0	ud_0	1103	dd_1	dd_1
			2103	ud_1	ud_1
			2203	uu_1	uu_1
3101	sd_0	sd_0	3103	sd_1	sd_1
3201	su_0	su_0	3203	su_1	su_1
			3303	ss_1	ss_1

Kde i, j súkódykvarkova s jespindikvarku.

Tabuľky kódov častic (mezónyaba ryóny)

Table 7: Meson codes, part 1.						Table 8: Meson codes, part 2.					
KF	Name	Printed	KF	Name	Printed	KF	Name	Printed	KF	Name	Printed
211	π^+	pi+	213	ρ^+	rho+	10213	b_1	b_{-1+}	10211	a_0^+	a_{-0+}
311	K^0	K0	313	K^{*0}	K^{*0}	10313	K_1^0	K_{10}	10311	K_0^*	K^{*00}
321	K^+	K+	323	K^{*+}	K^{*+}	10323	K_1^+	K_{1+}	10321	K_0^{*+}	K^{*+0+}
411	D^+	D+	413	D^{*+}	D^{*+}	10413	D_1^+	D_{-1+}	10411	D_0^{*+}	D^{*+0+}
421	D^0	D0	423	D^{*0}	D^{*0}	10423	D_1^0	D_{-10}	10421	D_0^0	D^{*00}
431	D_s^+	D_s+	433	D_s^{*+}	D_s^{*+}	10433	D_1^{*+}	D_{-1s+}	10431	D_0^{*+}	D^{*+0s+}
511	B^0	B0	513	B^{*0}	B^{*0}	10113	b_1^0	b_{-10}	10111	a_0^0	a_{-00}
521	B^+	B+	523	B^{*+}	B^{*+}	10223	b_1^0	b_{-10}	10221	f_0^0	f_{-00}
531	B_s^0	B_s0	533	B_s^{*0}	B_s^{*0}	10333	b_1^0	b_{-10}	10331	f_0^0	f'_{-00}
541	B_s^+	B_s+	543	B_s^{*+}	B_s^{*+}	10443	b_1^0	b_{-1c0}	10441	χ_{0c}^0	χ_{-0c0}
111	π^0	pi0	113	ρ^0	rho0	20213	a_1^+	a_{-1+}	215	a_2^+	a_{-2+}
221	η	eta	223	ω	omega	20313	K_1^0	K_{-10}	315	K_2^0	K_{-20}
331	η'	eta'	333	ϕ	phi	20323	K_1^+	K_{-1+}	325	K_2^+	K_{-2+}
441	η_c	eta_c	443	J/ψ	J/psi	20413	D_1^+	D_{-1+}	415	D_2^+	D_{-2+}
551	η_b	eta_b	553	Υ	Upsilon	20423	D_1^0	D_{-10}	425	D_2^0	D_{-20}
661	η_t	eta_t	663	Θ	Theta	20433	D_{1s}^+	D_{-1s+}	435	D_{2s}^+	D_{-2s+}
130	K_L^0	K_L0				20113	a_1^0	a_{-10}	115	a_2^0	a_{-20}
310	K_S^0	K_S0				20223	f_1^0	f_{-10}	225	f_2^0	f_{-20}
						20333	f_1^0	f_{-10}	335	f_2^0	f'_{-20}
						20443	χ_{1c}^0	χ_{-1c0}	445	χ_{2c}^0	χ_{-2c0}
						30443	ψ'	ψ'			
						30553	T'	Υ			

Table 9: Baryon codes.					
KF	Name	Printed	KF	Name	Printed
2112	n	n0	1114	Δ^-	Delta-
2212	p	p+	2114	Δ^0	Delta0
			2214	Δ^+	Delta+
			2224	Δ^{++}	Delta++
3112	Σ^-	Sigma-	3114	Σ^{*-}	Sigma*-
3122	Λ^0	Lambda0			
3212	Σ^0	Sigma0	3214	Σ^{*0}	Sigma*0
3222	Σ^+	Sigma+	3224	Σ^{*+}	Sigma*+
3312	Ξ^-	Xi-	3314	Ξ^{*-}	Xi-
3322	Ξ^0	Xi0	3324	Ξ^{*0}	Xi0
			3334	Ω^-	Omega-
4112	Σ_c^0	Sigma_c0	4114	Σ_c^0	Sigma*_c0
4122	Λ_c^+	Lambda_c+			
4212	Σ_c^+	Sigma_c+	4214	Σ_c^{*+}	Sigma*_c+
4222	Σ_c^{++}	Sigma_c++	4224	Σ_c^{*++}	Sigma*_c++
4132	Ξ_c^0	Xi_c0			
4312	Ξ_c^0	Xi'_c0	4314	Ξ_c^{*0}	Xi*_c0
4232	Ξ_c^+	Xi_c+			
4322	Ξ_c^+	Xi'_c+	4324	Ξ_c^{*+}	Xi*_c+
4332	Ω_c^0	Omega_c0	4334	Ω_c^{*0}	Omega*_c0
5112	Σ_b^-	Sigma_b-	5114	Σ_b^{*-}	Sigma*_b-
5122	Λ_b^0	Lambda_b0			
5212	Σ_b^0	Sigma_b0	5214	Σ_b^{*0}	Sigma*_b0
5222	Σ_b^+	Sigma_b+	5224	Σ_b^{*+}	Sigma*_b+

KF	Printed	Meaning
110	pi_diffr0	Diffractive $\pi^0/\rho^0/\gamma$ state
210	pi_diffr+	Diffractive π^+ state
2110	n_diffr	Diffractive n state
2210	p_diffr+	Diffractive p state

Časticajev **PYTHIA/JETSET** charakterizovaná **4-hybnosťou, hmotnosťou, súradnicami produkčného vertexu, časomprodukcie** a ďalším charakteristikami udávajúcimi pôvod častice a pod.

Informácia o časticach sa nachádzav v common-bloku **LUJETS**.

COMMON/LUJETS/N,K(4000,5),P(4000,5),V(4000,5)

N = po četnostiach K,P,V – prakticky je to počet častíc z častiach, ktoré sa interakcie.

K(i,1) = statuskód častice (partónu) obsiahnutého v i-tom riadku,

K(i,2) = KF - kód častice (partónu),

K(i,3) = čísloradku, ktorého častica je v súradničnom priestore,

K(i,4) = čísloradku, ktorého častica je v súradničnom priestore, pre K(i,1)=3,13,14 udávajúce farbu (zktorých sú aktívne),

K(i,5) = čísloradku, ktorého častica je v súradničnom priestore, pre K(i,1)=3,13,14 udáva tok farby a tokfarby.

P(i,1) = p_x , x-zložka hybnosti v GeV/c .

P(i,2) = p_y , y-zložka hybnosti v GeV/c .

P(i,3) = p_z , z-zložka hybnosti v GeV/c .

P(i,4) = E, energia v GeV .

P(i,5) = m, hmotnosť v GeV/c^2 , pre priestoru - podobné virtuálne častice = -Q (prenesená hybnosť).

V(i,1) = x súradnicový produk čného vertexu v mm.

V(i,2) = y súradnicový produk čného vertexu v mm.

V(i,3) = z súradnicový produk čného vertexu v mm.

V(i,4) = t časový produk čného vertexu v mm/c ($\approx 3.33 \times 10^{-12} s$).

V(i,5) = τ doba života častice v mm/c ($\approx 3.33 \times 10^{-12} s$).

Informáciu o produkovaných časticach jemnožíská pomocou:

CALLLIST(Mlist)

Mlistová tabuľka je výstupným hodnotením.

Kód procesov

Table 1: Kódysub -procesov, časť 1., +v 1.st úpciznamená, že procesy sú implementované, 2. st úpecudávareferenčné čísla subprocesu (ISUB).

In	No.	Subprocess	Reference
+	1	a) $2 \rightarrow 1$, tree $f_i \bar{f}_i \rightarrow \gamma^*/Z^0$	[Eic84]
+	2	$f_i \bar{f}_j \rightarrow W^+$	[Eic84]
+	3	$f_i \bar{f}_i \rightarrow H^0$	[Eic84]
	4	$\gamma W^+ \rightarrow W^+$	
+	5	$Z^0 Z^0 \rightarrow H^0$	[Eic84, Cha85]
	6	$Z^0 W^+ \rightarrow W^+$	
	7	$W^+ W^- \rightarrow Z^0$	
+	8	$W^+ W^- \rightarrow H^0$	[Eic84, Cha85]
		b) $2 \rightarrow 2$, tree	
+	10	$f_i f_j \rightarrow f_i f_j$ (QFD)	[Ing87b]
+	11	$f_i f_j \rightarrow f_i f_j$ (QCD)	[Com77, Ben84, Eic84]
+	12	$f_i \bar{f}_i \rightarrow f_k \bar{f}_k$	[Com77, Ben84, Eic84]
+	13	$f_i \bar{f}_i \rightarrow gg$	[Com77, Ben84]
+	14	$f_i \bar{f}_i \rightarrow g\gamma$	[Hal78, Ben84]
+	15	$f_i \bar{f}_i \rightarrow gZ^0$	[Eic84]
+	16	$f_i \bar{f}_j \rightarrow gW^+$	[Eic84]
	17	$f_i \bar{f}_i \rightarrow gH^0$	
+	18	$f_i \bar{f}_i \rightarrow \gamma\gamma$	[Ber84]
+	19	$f_i \bar{f}_i \rightarrow \gamma Z^0$	[Eic84]
+	20	$f_i \bar{f}_j \rightarrow \gamma W^+$	[Eic84, Sam91]
	21	$f_i \bar{f}_i \rightarrow \gamma H^0$	
+	22	$f_i \bar{f}_i \rightarrow Z^0 Z^0$	[Eic84, Gun86]
+	23	$f_i \bar{f}_j \rightarrow Z^0 W^+$	[Eic84, Gun86]
+	24	$f_i \bar{f}_i \rightarrow Z^0 H^0$	[Ber84]
+	25	$f_i \bar{f}_i \rightarrow W^+ W^-$	[Eic84, Gun86]
+	26	$f_i \bar{f}_j \rightarrow W^+ H^0$	[Eic84]
	27	$f_i \bar{f}_i \rightarrow H^0 H^0$	
+	28	$f_i g \rightarrow f_i g$	[Com77, Ben84]
+	29	$f_i g \rightarrow f_i \gamma$	[Hal78, Ben84]
+	30	$f_i g \rightarrow f_i Z^0$	[Eic84]
+	31	$f_i g \rightarrow f_k W^+$	[Eic84]
	32	$f_i g \rightarrow f_i H^0$	
+	33	$f_i \gamma \rightarrow f_i g$	[Duk82]
+	34	$f_i \gamma \rightarrow f_i \gamma$	[Duk82]
+	35	$f_i \gamma \rightarrow f_i Z^0$	[Gab86]
+	36	$f_i \gamma \rightarrow f_k W^+$	[Gab86]
	37	$f_i \gamma \rightarrow f_i H^0$	
	38	$f_i Z^0 \rightarrow f_i g$	
	39	$f_i Z^0 \rightarrow f_i \gamma$	
	40	$f_i Z^0 \rightarrow f_i Z^0$	

Table 2: Kódysub -procesov, časť 2 „+v“ 1.st úpciznamená, že proces je implementovaný, 2. st úpecudávareferen čné číslosubprocesu (ISUB).

In	No.	Subprocess	Reference
		b) $2 \rightarrow 2$, tree (cont'd)	
	41	$f_i Z^0 \rightarrow f_k W^+$	
	42	$f_i Z^0 \rightarrow f_i H^0$	
	43	$f_i W^+ \rightarrow f_k g$	
	44	$f_i W^+ \rightarrow f_k \gamma$	
	45	$f_i W^+ \rightarrow f_k Z^0$	
	46	$f_i W^+ \rightarrow f_k W^+$	
	47	$f_i W^+ \rightarrow f_k H^0$	
	48	$f_i H^0 \rightarrow f_i g$	
	49	$f_i H^0 \rightarrow f_i \gamma$	
	50	$f_i H^0 \rightarrow f_i Z^0$	
	51	$f_i H^0 \rightarrow f_k W^+$	
	52	$f_i H^0 \rightarrow f_i H^0$	
+	53	$gg \rightarrow f_k \bar{f}_k$	[Com77, Ben84]
+	54	$g\gamma \rightarrow f_k \bar{f}_k$	[Duk82]
	55	$gZ^0 \rightarrow f_k \bar{f}_k$	
	56	$gW^+ \rightarrow f_k \bar{f}_l$	
	57	$gH^0 \rightarrow f_k \bar{f}_l$	
+	58	$\gamma\gamma \rightarrow f_k \bar{f}_k$	[Bar90]
	59	$\gamma Z^0 \rightarrow f_k \bar{f}_k$	
	60	$\gamma W^+ \rightarrow f_k \bar{f}_l$	
	61	$\gamma H^0 \rightarrow f_k \bar{f}_k$	
	62	$Z^0 Z^0 \rightarrow f_k \bar{f}_k$	
	63	$Z^0 W^+ \rightarrow f_k \bar{f}_l$	
	64	$Z^0 H^0 \rightarrow f_k \bar{f}_k$	
	65	$W^+ W^- \rightarrow f_k \bar{f}_k$	
	66	$W^+ H^0 \rightarrow f_k \bar{f}_l$	
	67	$H^0 H^0 \rightarrow f_k \bar{f}_k$	
+	68	$gg \rightarrow gg$	[Com77, Ben84]
+	69	$\gamma\gamma \rightarrow W^+ W^-$	[Kat83]
+	70	$\gamma W^+ \rightarrow Z^0 W^+$	[Kun87]
+	71	$Z^0 Z^0 \rightarrow Z^0 Z^0$ (longitudinal)	[Abb87]
+	72	$Z^0 Z^0 \rightarrow W^+ W^-$ (longitudinal)	[Abb87]
+	73	$Z^0 W^+ \rightarrow Z^0 W^+$ (longitudinal)	[Dob91]
	74	$Z^0 H^0 \rightarrow Z^0 H^0$	
	75	$W^+ W^- \rightarrow \gamma\gamma$	
+	76	$W^+ W^- \rightarrow Z^0 Z^0$ (longitudinal)	[Ben87b]
+	77	$W^+ W^\pm \rightarrow W^+ W^\pm$ (longitudinal)	[Dun86, Bar90a]
	78	$W^+ H^0 \rightarrow W^+ H^0$	
	79	$H^0 H^0 \rightarrow H^0 H^0$	
+	80	$q_i \gamma \rightarrow q_k \pi^\pm$	[Bag82]

Table3 :K ódysub -procesov, časť 3 „+v“ 1.st ľpciznamená,žeprocesje implementovaný,2.st ľpecudávareferen čné číslosubprocesu(ISUB).

In	No.	Subprocess	Reference
		c) $2 \rightarrow 2$, tree, massive final quarks	
+	81	$f_i \bar{f}_i \rightarrow Q_k \bar{Q}_k$	[Com79]
+	82	$gg \rightarrow Q_k \bar{Q}_k$	[Com79]
+	83	$q_i f_j \rightarrow Q_k \bar{f}_i$	[Zer90]
+	84	$g\gamma \rightarrow Q_k \bar{Q}_k$	[Fon81]
+	85	$\gamma\gamma \rightarrow F_k \bar{F}_k$	[Bar90]
+	86	$gg \rightarrow J/\psi g$	[Bai83]
+	87	$gg \rightarrow \chi_0 c g$	[Gas87]
+	88	$gg \rightarrow \chi_1 c g$	[Gas87]
+	89	$gg \rightarrow \chi_2 c g$	[Gas87]
		d) ‘minimum bias’	
+	91	elastic scattering	[Sch93b]
+	92	single diffraction ($AB \rightarrow XB$)	[Sch93b]
+	93	single diffraction ($AB \rightarrow AX$)	[Sch93b]
+	94	double diffraction	[Sch93b]
+	95	low- p_\perp production	[Sjö87]
		e) $2 \rightarrow 1$, loop	
	101	$gg \rightarrow Z^0$	
+	102	$gg \rightarrow H^0$	[Eic84]
+	103	$\gamma\gamma \rightarrow H^0$	[Dre89]
		f) $2 \rightarrow 2$, box	
+	110	$f_i \bar{f}_i \rightarrow \gamma H^0$	[Ber85a]
+	111	$f_i \bar{f}_i \rightarrow g H^0$	[Ell88]
+	112	$f_i g \rightarrow f_i H^0$	[Ell88]
+	113	$gg \rightarrow g H^0$	[Ell88]
+	114	$gg \rightarrow \gamma\gamma$	[Con71, Ber84, Dic88]
+	115	$gg \rightarrow g\gamma$	[Con71, Ber84, Dic88]
	116	$gg \rightarrow \gamma Z^0$	
	117	$gg \rightarrow Z^0 Z^0$	
	118	$gg \rightarrow W^+ W^-$	
	119	$\gamma\gamma \rightarrow gg$	
		g) $2 \rightarrow 3$, tree	
+	121	$gg \rightarrow Q_k \bar{Q}_k H^0$	[Kun84]
+	122	$q_i \bar{q}_i \rightarrow Q_k \bar{Q}_k H^0$	[Kun84]
+	123	$f_i f_j \rightarrow f_i f_j H^0$ (ZZ fusion)	[Cah84]
+	124	$f_i f_j \rightarrow f_k f_l H^0$ ($W^+ W^-$ fusion)	[Cah84]
+	131	$gg \rightarrow Z^0 Q_k \bar{Q}_k$	[Eij90]

Table4: Kódysub -procesov, časť 4 „+v“ 1.st ťpciznamená, ťeprocesje implementovaný, 2. st ťpecudávareferen čné číslosubprocesu (ISUB).

In	No.	Subprocess	Reference
		h) non-Standard Model, $2 \rightarrow 1$	
+	141	$f_i \bar{f}_i \rightarrow \gamma/Z^0/Z'^0$	[Alt89]
+	142	$f_i \bar{f}_j \rightarrow W^+$	[Alt89]
+	143	$f_i \bar{f}_j \rightarrow H^+$	[Gun87]
+	144	$f_i \bar{f}_j \rightarrow R$	[Ben85a]
+	145	$q_i \ell_j \rightarrow L_Q$	[Wud86]
+	147	$dg \rightarrow d^*$	[Bau90]
+	148	$ug \rightarrow u^*$	[Bau90]
+	149	$gg \rightarrow \eta_{\text{techni}}$	[Eic84, App92]
+	151	$f_i \bar{f}_i \rightarrow H^0$	[Eic84]
+	152	$gg \rightarrow H'^0$	[Eic84]
+	153	$\gamma\gamma \rightarrow H^0$	[Dre89]
+	156	$f_i \bar{f}_i \rightarrow A^0$	[Eic84]
+	157	$gg \rightarrow A^0$	[Eic84]
+	158	$\gamma\gamma \rightarrow A^0$	[Dre89]
		i) non-Standard Model, $2 \rightarrow 2$ and $2 \rightarrow 3$	
+	161	$f_i g \rightarrow f_k H^+$	[Bar88]
+	162	$qg \rightarrow \ell L_Q$	[Hew88]
+	163	$gg \rightarrow L_Q \bar{L}_Q$	[Hew88, Eic84]
+	164	$q_i \bar{q}_i \rightarrow L_Q \bar{L}_Q$	[Hew88]
+	165	$f_i \bar{f}_i \rightarrow f_k \bar{f}_k$ (via γ^*/Z^0)	[Eic84, Lan91]
+	166	$f_i \bar{f}_j \rightarrow f_k \bar{f}_l$ (via W^\pm)	[Eic84, Lan91]
+	171	$f_i \bar{f}_i \rightarrow Z^0 H^0$	[Eic84]
+	172	$f_i \bar{f}_j \rightarrow W^+ H^0$	[Eic84]
+	173	$f_i \bar{f}_j \rightarrow f_i f_j H^0$ (ZZ fusion)	[Cah84]
+	174	$f_i \bar{f}_j \rightarrow f_k f_l H^0$ ($W^+ W^-$ fusion)	[Cah84]
+	176	$f_i \bar{f}_i \rightarrow Z^0 A^0$	[Eic84]
+	177	$f_i \bar{f}_j \rightarrow W^+ A^0$	[Eic84]
+	178	$f_i \bar{f}_j \rightarrow f_i f_j A^0$ (ZZ fusion)	[Cah84]
+	179	$f_i \bar{f}_j \rightarrow f_k f_l A^0$ ($W^+ W^-$ fusion)	[Cah84]
+	181	$gg \rightarrow Q_k \bar{Q}_k H^0$	[Kun84]
+	182	$q_i \bar{q}_i \rightarrow Q_k \bar{Q}_k H^0$	[Kun84]
+	186	$gg \rightarrow Q_k \bar{Q}_k A^0$	[Kun84]
+	187	$q_i \bar{q}_i \rightarrow Q_k \bar{Q}_k A^0$	[Kun84]

Generovanie procesov v Pythii

Základom je generovanie procesov $\rightarrow 2 \rightarrow 1$. Python predpokladá, že pojedno partón z každého hadrónu sa zúčastňuje nepružnej zrážky. Rozdelenie partónov v hadróne je dané štruktúrnymi funkciemi.

Štruktúrne funkcie.

Štruktúrna funkcia $f_i^a(x, Q^2)$ parametrizuje pravdepodobnosť nájsť partón i podielom x na energiu incidentnej časticie a , keďže dôležitou časťou podstupujeho boku je nepružný rozptyl na šírkou Q^2 (prenesená hybnosť).

Normovanie štruktúrnych funkcií: $\sum_i \int_0^1 dx f_i^a(x, Q^2) = 1$.

V rámci Pythia je možnosť používať 10 súborov štruktúrnych funkcií ako defaulty a používa EHLQ set. Príjem Pythia umožňuje pripojiť aj vonkajšie knížnice štruktúrnych funkcií. Základom sú nových štrukturálnych funkcií sú protónové štruktúrne funkcie (merajúce experimentálne). Na získanie iných štruktúrnych funkcií sa používajú symetrické ozneho druhu. Napr. $f_u^n = f_d^p$ a $f_d^n = f_u^p$

Kinematika a účinné priezvyky pre procesy $\rightarrow 2$

Uvažujme dvě incidentné časticie (CMS) každá s energiou E_{beam} . Dve partóny vstupujúce do interakcie majú 4-hybnynosti:

$$p_1 = E_{beam}(x_1, 0, 0, x_1)$$

$$p_2 = E_{beam}(x_2, 0, 0, -x_2)$$

Invariantná hmotnosť dvoch partónov:

$$\hat{s} = (p_1 + p_2)^2 = x_1 x_2 \cdot s$$

Namiesto x_1 a x_2 sa často používajú τ a y :

$$\tau = x_1 x_2 = \frac{\hat{s}}{s}$$

$$y = \frac{1}{2} \ln \frac{x_1}{x_2}$$

Prepopísani ekinematikyrozptylu $1 \rightarrow 2 \rightarrow 3 \rightarrow 4$ potrebujemeešteazimutálnyuhol ϕ (uhol potočeniarovinyrozptyluokoloosizväzku)apolárnyuhol $\hat{\theta}$ (uholrozptylupartónu3):

$$\hat{t} = (p_1 - p_2)^2 = (p_3 - p_4)^2 = -\frac{\hat{s}}{2}(1 + \cos \hat{\theta})$$

Účinnýprierez:

$$\begin{aligned}\sigma &= \iiint dx_1 dx_2 d\hat{t} \cdot f_1(x_1, Q^2) \cdot f_2(x_2, Q^2) \cdot \frac{d\hat{\sigma}}{dt} \\ &= \iiint \frac{d\tau}{\tau} dy d\hat{t} \cdot x_1 f_1(x_1, Q^2) \cdot x_2 f_2(x_2, Q^2) \cdot \frac{d\hat{\sigma}}{dt}\end{aligned}$$

Voľba Q^2 niejejednozna čnázvy čajnesapoužíva:

$$Q^2 = \hat{m}_\perp^2 = \hat{m}^2 + \hat{p}_\perp^2$$

$d\hat{\sigma}/dt$ jediferenciálnyú činnýprierezprepartónovýrozptyl(zvy čajneQCD -proces).

Produkciarezonancí

Realizujesaprostredníctvomprocesu $2 \rightarrow 1$. Neuvažujúcrozpad rezonanciepreú činný prierez,ktorýnezávisíod \hat{t} :

$$\sigma = \iint \frac{d\tau}{\tau} dy \cdot x_1 f_1(x_1, Q^2) \cdot x_2 f_2(x_2, Q^2) \cdot \hat{\sigma}(s)$$

Preú činnýprierezrezonancesošírkou Γ_R platí:

$$\hat{\sigma}(\hat{s}) \propto \frac{s}{\pi} \frac{m_R \Gamma_R}{(s\tau - m_R^2)^2 + m_R^2 \Gamma_R^2}$$

Γ_R sadávyjadri ťcezparciálnešírkyfinálnychstavov.

*Pythia*umož ſujeuvažov aťajprocesy $2 \rightarrow 3a2 \rightarrow 4$.

Rozpadyrezonancií. Dvomispôsobmi:

Cez **LUDECY** –rozpadnestabilnej časticenazákladefixovanýchpravdepodobnostíapritom rozpadsauvažujev LSrezonancieakoizotropný.

Cez **PYRESD** –umož ſujeuvažova ťparalelnerozpady2r ezonancií(v *Pythij*jetodefault).

Neperturbatívneprocesy. V Pythiisaberúdoúvahyajprocesyakoelastickýrozptyl,jednoduchýadvojitýdifrák čnýrozptyl.

Výberprocesovv Pythii

COMMON/PYSUBS/MSEL,MSUB(200),KFIN(2, -40:40),CKIN(200)
COMMON/PYPARS/MSTP(200),PARP(200),MSTI(200),PARI(200)

Dávaprístupk statuskóduaparametrom,ktoréovládajúbehsimulovanýchprocesov.Ak preddefinovanéhodnoty(defaulthodnoty)chcemezmeniť –jepotrebnéurobiťzmenypred volaním ***callPYINIT***.

Úloha:

Máme experimenty v Laboratórnej sústave:

$$\begin{aligned}
 p + p &\rightarrow B^0(\bar{B}^0) \\
 &\rightarrow J/\psi + K^0(\bar{K}^0) \\
 &\rightarrow \pi^- \pi^+ (\pi^0 \pi^0) \\
 &\rightarrow \mu^- \mu^+
 \end{aligned}$$

Energia incidentnej častice je $E_{inc} = 400\text{GeV}, 800\text{GeV}, 3\text{TeV}$ a 7TeV .

Predpokladajme, že poznáme

- rozlíšenie miónového systému
- rozlíšenie pre π^\pm (trekový systém, resp. hadrónový kalorimeter)
- rozlíšenie elektromagnetického kalorimetra (π^0)

Úlohy:

- a) modelovať proces produkcie b -kvarku via proces (1)
- b) nájsť spektráv priečne japožd ľznej hybnosti pre $J/\psi, \pi^\pm, \pi^0, \mu^\pm$, ktoré majú pôvod v B -mezóne,
- c) Porovnať uvedené spektrá s ospektrami z procesov s ľahkými kvarkami.
- d) Rekonštruovať energiu π^\pm, π^0 a μ^\pm berúc do úvahy rozlíšenie, rekonštruovať hmotnosť J/ψ a K^0 a hmotnosť B^0 .